

## مقایسه ژئوشیمیابی سازند پابده در میدین نفتی زیلائی و اهواز

بهرام علیزاده و مهرداد مرادی

گروه زمین‌شناسی - دانشگاه شهید چمران اهواز

پست الکترونیکی: [alizadeh@scu.ac.ir](mailto:alizadeh@scu.ac.ir)

### چکیده

در این تحقیق، سازند پابده در میدین نفتی زیلائی و اهواز مورد ارزیابی ژئوشیمیابی قرار گرفت. لاغهای ژئوشیمیابی تهیه شده حد اکثر کل کربن آلی،  $TOC$ ، در میدان نفتی اهواز را تا  $41\%$  و  $28\%$  برای میدان نفتی زیلائی نشان می‌دهد. کروزن موجود در هر دو میدان، مخلوط نوع  $II$  و  $III$  تعیین شد. در این مطالعه از نظر ژئوشیمیابی کل سازند پابده در میدین اهواز و زیلائی به ۳ زون  $A$  و  $B$  و  $C$  تقسیم‌بندی شده است. زون  $B$  دارای  $TOC$  بالاتر و در ابتدای مرحله نفت‌زائی قرار دارد. تفاوت محاسبه شده در بلوغ ماده آلی در دو میدان یاد شده می‌باشد. سازند پابده در میدان اهواز به پنجره نفتی نرسیده است، در حالی که در میدان زیلائی  $T_{max}$  بیش از  $430^{\circ}C$  اندازه‌گیری شده و در ابتدای محدوده تولید نفت قرار می‌گیرد. نتایج این مطالعه بیان‌گر این نکته است که زون  $B$  در این سازند که حد اکثر کل کربن آلی را در خود دارد از جنوب‌شرق به شمال‌غرب در اعماق بیشتری ظاهر شده و نشان از عمیق شدن حوضه روسوبی در این راستا دارد. افزایش بلوغ در میدان نفتی زیلائی که در شمال میدان نفتی اهواز قرار دارد این نکته را تائید می‌نماید. خصمناً نمودار  $S_1$  در مقابل  $TOC$  بر جا بودن هیدروکربن‌های موجود در سازند پابده هر دو میدان را تأیید می‌کند.

**واژه‌های کلیدی:** سازند پابده، میدین نفتی زیلائی و اهواز، لاغهای ژئوشیمیابی، بلوغ، کل کربن آلی،  $T_{max}$

انجام شده توسط کاجی و الکساندر که در حقیقت قصد مقایسه نفت و سنگ منشاء از حوضه Carnarvon و زیر حوضه Vulcan در استرالیا را داشته‌اند [۱]، جهت تکمیل کار خود به مقایسه سنگ منشاء دو حوضه نیز پرداخته‌اند). در مطالعه حاضر به منظور بررسی توان نفت‌زائی سازند پابده در میدان نفتی اهواز و زیلائی به

### مقدمه

مقایسه سنگ‌های منشاء با یکدیگر در جهان به ندرت صورت گرفته و در ایران نیز متأسفانه این مهم مورد توجه قرار نگرفته است. هر چند در کنار مقایسه سنگ منشاء با نفت بعضاً سنگ منشاء با سنگ منشاء دیگری مورد مقایسه و بررسی قرار می‌گیرد (برای مثال پژوهه تحقیقاتی

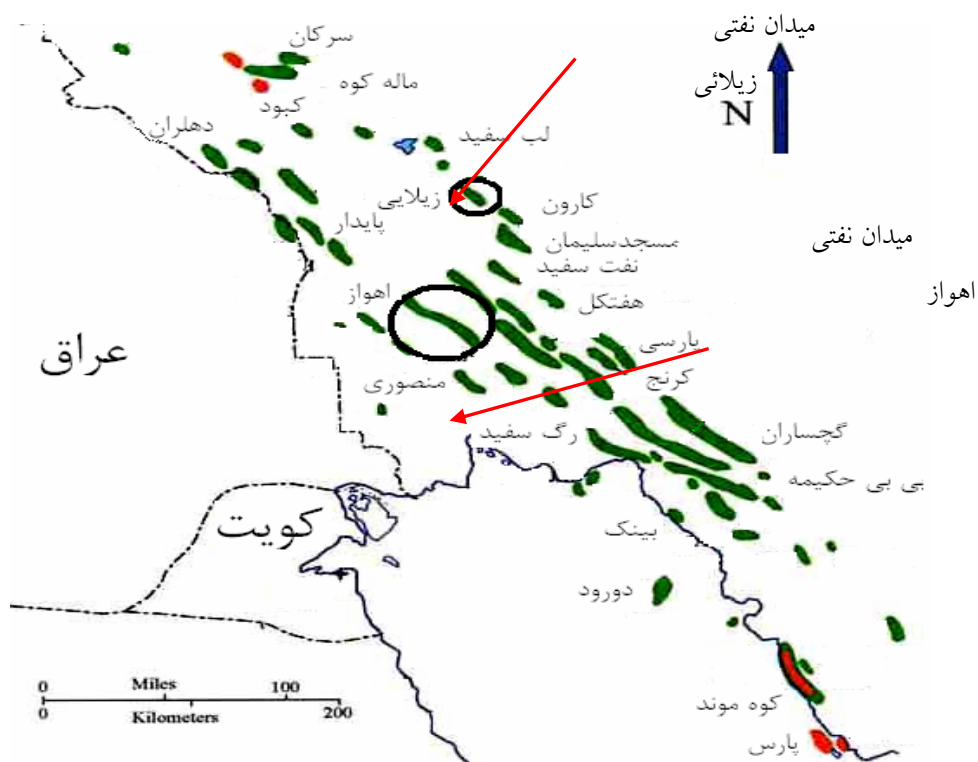
میدان نفتی اهواز در زیر شهر اهواز قرار گرفته، به طوری که فرودگاه این شهر روی هسته مرکزی تاقدیس قرار می‌گیرد. این میدان در ناحیه فروافتادگی دزفول شمالی قرار دارد. در این فروافتادگی ۴۵ میدان نفتی وجود دارد که تعدادی از این میدادین به عنوان میدادین بسیار عظیم شناخته شده‌اند که میدان نفتی اهواز یکی از آن‌ها به شمار می‌رود. مخزن آسماری میدان نفتی اهواز به تنهایی ۷۰۰/۰۰۰ بشکه در روز تولید دارد [۵]. کثرت چاههای این میدان به حدی است که هم اکنون چاه شماره ۳۸۱ میدان توسط شرکت ملی حفاری ایران و به نظرات شرکت ملی مناطق نفت خیز جنوب، حفاری و در حال تکمیل می‌باشد. سازند پابده در میدان نفتی اهواز متشكل از سنگ آهکرسی خاکستری و مارن‌های خاکستری و مقداری آهک می‌باشد. سازند پابده در قسمت فوقانی متشكل از شیل و مارن‌های ماسه و سیلت‌دار به رنگ خاکستری است. میانگین ضخامت حفاری شده سازند پابده در میدان نفتی اهواز ۱۸۰ متر است [۶]. مرز زیرین سازند پابده با سازند آهکی - شیلی گورپی مشخص می‌گردد. مرز فوقانی سازند پابده با سازند آسماری به صورت تدریجی پوشیده می‌شود. سن سازند پابده با توجه به محتویات فسیلی از پالئوسن تا الیگوسن تعیین شده است [۷]. در غالب چاههای بررسی شده به خصوص چاههای بخش میانی و بخش جنوب‌غربی ناحیه فروافتاده دزفول، ستون سنگ‌شناسی سازند پابده در برگیرنده یک افق شیل‌کربناته غنی از مواد رسی می‌باشد. مرز بالایی این افق مطابق با ائوسن پایانی و زمان وقوع فاز تکتونیک پیرین است. این افق به عنوان یک افق راهنمای و به نام «شیل‌های قهوه‌ای» نام‌گذاری شده است.

مقایسه این سازند در دو میدان یاد شده پرداخته شده است.

به منظور ارزیابی سنگ‌های منشاء میادین مورد مطالعه نمودارهای ژئوشیمیایی تهیه شد. نمونه‌ها از اعماق مختلف با رعایت استاندارد داده شده توسط هانت [۲] انتخاب تا نمودارهای به دست آمده معنی‌دار باشند. به منظور دستیابی به اطلاعات بالارزش ژئوشیمیایی از دستگاه راک - ایول ۶ استفاده شد. دستگاه راک - ایول ۶ به عنوان آخرین نسل از نوع خود در سال ۱۹۹۶ توسط تکنولوژی VINCI تکمیل شده که به علت بالا بودن دقیق آنالیز از بهترین روش‌ها جهت ارزیابی سنگ‌های منشاء به شمار می‌آید [۳]. لاغهای ژئوشیمیائی سازند پابده از ۵۵ نمونه میدان اهواز و ۳۵ نمونه میدان زیلانی تهیه شد.

### زمین‌شناسی منطقه

میدان نفتی زیلانی در ۳۰ کیلومتری شمال‌غرب شهر مسجدسلیمان و ۱۵ کیلومتری جنوب میدان لالی قرار گرفته است. مخزن آسماری، تاقدیسی نامتقارن به ابعاد تقریبی ۴۰ کیلومتر و عرض ۶ کیلومتر است. اگر چه در طول سال‌های مختلف تفاسیر لرزه‌نگاری متفاوتی جهت معرفی آن صورت گرفته است، لیکن غالباً با دو برآمدگی در ناحیه جنوب‌شرق و شمال‌غرب معرفی شده است و بیشتر چاههای موجود نیز در برآمدگی جنوب‌شرق میدان حفاری شده و لذا ابهامات ساختمنی در بخش وسیعی از میدان همچنان وجود دارد [۴]. نام سازند پابده از تنگ پابده در کوه گورپی اقتباس شده است. مقطع نمونه فوق الذکر در فاصله ۲۵-۳۰ کیلومتری شمال شهرستان لالی در استان خوزستان قرار دارد.



شکل ۱- موقعیت جغرافیائی میدان نفتی زیلائی، اهواز و میدان‌نفتی همجوار

$S_2$ : مقدار هیدرورکرین موجود در سنگ که در دمای بین  $300^{\circ}\text{C}$  تا  $650^{\circ}\text{C}$  در اثر کراکینگ حرارتی جدا شده و بر حسب  $(\text{mg HC/g Rock})$  نمایش داده می‌شود.

$T_{\max}$ : دمایی است که پیک  $S_2$  در آن به حداقل رسیده و یکی از پارامترهای بسیار خوب برای ارزیابی بلوغ حرارتی سنگ منشاء به حساب می‌آید.

شاخص اکسیژن<sup>۲</sup>: عبارت است از نسبت  $S_3/\text{TOC}$  و بر حسب  $(\text{mg CO}_2/\text{g TOC})$  نمایش داده می‌شود.

شاخص هیدروژن<sup>۳</sup>: عبارت است از نسبت  $S_2/\text{TOC}$  و بر حسب  $(\text{mg HC/g TOC})$  نمایش داده می‌شود.

#### روش مطالعه

جهت انجام این مطالعه ۵۵ و ۳۵ کنده حفاری<sup>۱</sup> سازند پابده، به ترتیب از میدان نفتی اهواز و زیلائی مورد استفاده قرار گرفت. مقدار ۵۰ تا ۷۰ میلی‌گرم از هر نمونه تیمار و هموژنیزه شده و سپس توسط دستگاه پیرولیز راک-ایول ۶ آنالیز و مقدار کل کربن آلی و نوع کروزن و دیگر پارامترهای ژئوشیمیائی مورد بررسی قرار گرفت. از پارامترهای محاسبه شده توسط این دستگاه که در این مطالعه از آن استفاده گردید، می‌توان به موارد ذیل اشاره نمود:

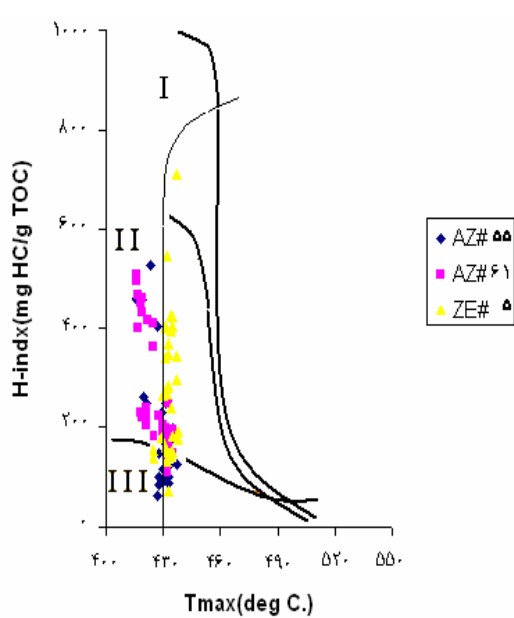
$S_1$ : مقدار هیدرورکرین آزاد که در دمای  $300^{\circ}\text{C}$  تبخیر شده و در واحد میلی‌گرم هیدرورکرین از هر گرم سنگ (mg HC/g Rock) بیان می‌شود.

2- Oxygen Index, OI  
3- Hydrogen Index, HI

1- Cutting

جدول ۱- اطلاعات دستگاه پیرولیز راک ایول ۶ در سازند پابده میدان نفتی اهواز چاه شماره ۵۵

TOC %	OI mg CO <sub>2</sub> /g TOC	HI mg HC /g TOC	T <sub>max</sub> °C	S <sub>2</sub> mg HC/g Rock	S <sub>1</sub> mg HC/g Rock	عمق (m)
۰/۶۷	۱۷۱	۱۱۷	۴۳۰	۰/۷۹	۰/۱۶	۳۱۵۳
۰/۷۵	۴۵	۱۲۳	۴۳۳	۰/۱۹	۰,۱۲	۳۱۶۲
۰/۸۶	۱۳۱	۶۲	۴۲۷	۰/۰۳	۰/۰۹	۳۱۷۱
۰/۲۰	۱۳۰	۸۶	۴۲۸	۰/۱۷	۰/۰۳	۳۱۸۱
۰/۷۶	۲۰۵	۹۰	۴۳۰	۰/۶۹	۰/۱۰	۳۱۹۰
۱/۳۵	۱۵۰	۱۲۶	۴۳۷	۱/۷۱	۰/۲۷	۳۱۹۹
۰/۶۷	۱۴۶	۹۴	۴۲۹	۰/۶۳	۰/۰۸	۳۲۰۸
۰/۹۷	۲۱۶	۱۰۰	۴۳۳	۰/۹۸	۰/۱۱	۳۲۱۹
۰/۶۷	۱۹۵	۱۰۲	۴۲۸	۰/۶۸	۰/۱۰	۳۲۲۶
۰/۷۰	۲۳۳	۹۸	۴۳۲	۰/۶۹	۰/۱۲	۳۲۲۹
۰/۰۹	۲۲۷	۸۹	۴۳۳	۰/۰۲	۰/۰۹	۳۲۴۸
۰/۸۹	۱۵۷	۱۹۵	۴۳۵	۱/۶۸	۰/۳۱	۳۲۵۷
۰/۸۹	۱۹۶	۱۸۵	۴۳۱	۱/۶۴	۰/۰۱	۳۲۶۶
۳/۳۶	۵۶	۴۵۸	۴۱۹	۱۰/۳۷	۱/۲۱	۳۲۷۵
۴/۱۵	۵۲	۴۶۰	۴۱۶	۱۹/۱۲	۱/۲۲	۳۲۸۴
۴/۰۱	۵۰	۴۶۲	۴۱۶	۱۸/۰۲	۱/۰۳	۳۲۹۳
۱/۰۸	۱۱۰	۲۵۰	۴۲۱	۴/۵	۰/۴۰	۳۳۰۳
۱/۰۶	۱۰۵	۲۶۰	۴۲۰	۵/۰۵	۰/۰۷	۳۳۱۲
۰/۸۴	۱۲۰	۲۳۰	۴۲۹	۴/۰۳	۰/۸۶	۳۳۲۱
۳/۶۳	۵۵	۵۲۷	۴۲۳	۱۹/۱۲	۲/۳۰	۳۳۳۰
۰/۴۸	۱۰۰	۲۰۰	۴۲۷	۲/۰۱	۰/۴۰	۳۳۴۰
۰/۸۴	۲۰۶	۲۴۸	۴۳۱	۲/۰۷	۰/۷۳	۳۳۴۸
۰/۷۶	۲۱۱	۱۹۸	۴۳۵	۱/۰۱	۰/۰۴	۳۳۵۷
۰/۴۹	۲۶۲	۱۷۵	۴۲۳	۰/۸۵	۰/۴۵	۳۳۶۷
۰/۴۱	۲۷۶	۱۶۷	۴۲۱	۰/۶۸	۰/۰۹	۳۳۷۶
۰/۷۲	۲۲۵	۱۷۱	۴۳۳	۱/۲۴	۰/۰۰	۳۳۸۵
۰/۰۶	۳۱۱	۱۴۷	۴۲۸	۰/۸۴	۰/۴۲	۳۳۹۴



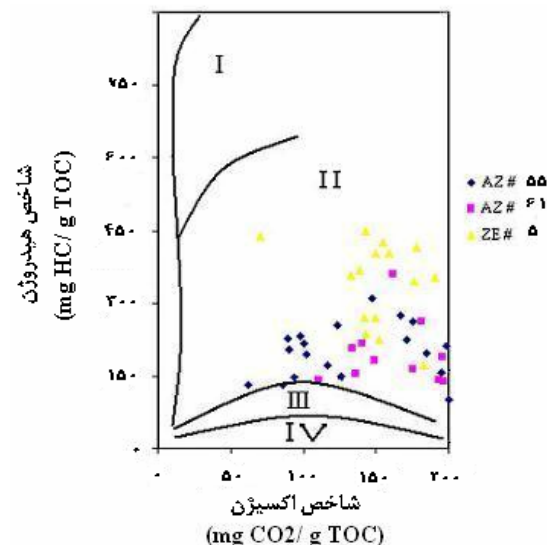
شکل ۳- نمودار برابر شاخص هیدروژن برای تعیین پتانسیل هیدروکربن‌زاوی و نوع کروژن، اقتباس از هانت [۲]

ضمیراً نمودار  $S_1$  به کل کربن آلی [۲] (شکل ۴) نشان می‌دهد که در نمونه‌های مورد مطالعه، آلدگی و یا مهاجرت نفت از لایه‌های پائینی صورت نگرفته و هیدروکربنی از خارج سازند به آن وارد نشده است. در این نمودار کلیه نمونه‌ها در زیر مرز دو گروه نفت دگر جا و برجا و در محدوده هیدروکربن‌های برجا<sup>۳</sup> قرار می‌گیرند.

### بحث و بررسی

در مطالعات ژئوشیمیایی و ارزیابی سنگ منشاء به سه فاکتور مهم کمیت، کیفیت و بلوغ ماده آلی پرداخته می‌شود.

کمیت ماده آلی در نمونه‌های مورد بررسی به صورت درصد کل کربن آلی، TOC<sup>۱</sup>، اندازه‌گیری شد. حداکثر کل کربن آلی در شیل‌های قهوه‌ای سازند پابده میدان نفتی اهواز معادل ۴/۱۵٪ اندازه‌گیری شد (جداول ۱ و ۲). در صورتی که در نمونه‌های سازند پابده میدان زیلائی، کل کربن آلی دارای حداکثر ۲/۸۴٪ می‌باشد (جدول ۳). کیفیت یا نوع ماده آلی به کمک نمودار شاخص هیدروژن در مقابل شاخص اکسیژن [۸] و [۹] (شکل ۲) و همچنین نمودار شاخص هیدروژن در مقابل  $T_{max}$  [۱۰، ۱۱ و ۱۲] (شکل ۳) تعیین و کروژن نوع II و III به صورت مخلوط معرفی می‌شود.



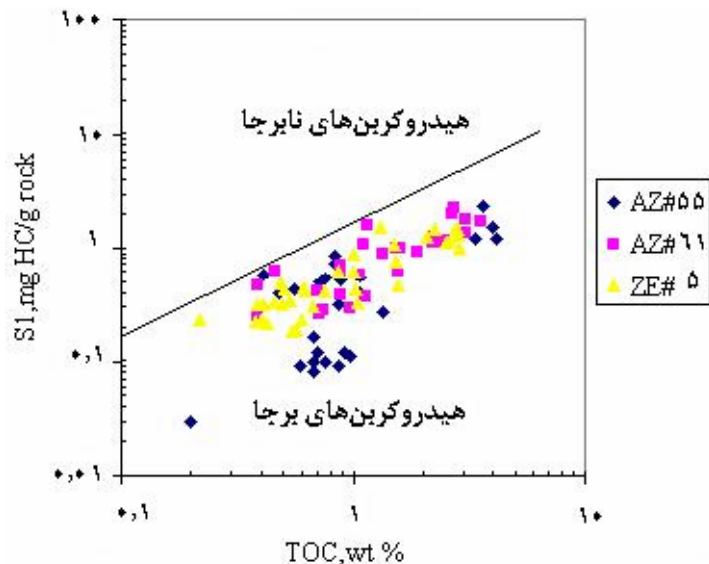
شکل ۲- نمودار شاخص هیدروژن در برابر شاخص اکسیژن به منظور تعیین نوع کروژن در سازند پابده میدان نفتی اهواز و زیلائی، اقتباس از هانت [۲]

جدول ۲- اطلاعات دستگاه پیرولیز راک ایول ۶ در سازند پابده میدان نفتی اهواز چاه شماره ۶۱

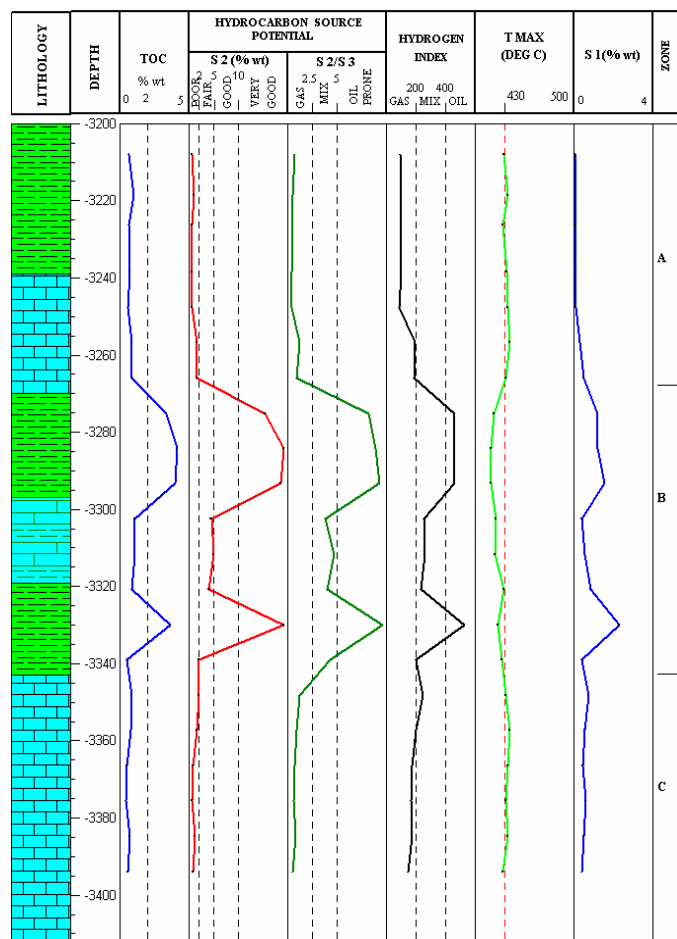
TOC %	OI mg CO <sub>2</sub> /g TOC	HI mg HC /g TOC	T <sub>max</sub> °C	S <sub>2</sub> mg HC /g Rock	S <sub>1</sub> mg HC /g Rock	عمق (m)
۱/۱۳	۱۲۲	۲۰۵	۴۳۰	۲/۳۳	۰/۳۷	۳۰۸۴
۰/۷۵	۱۵۴	۱۳۶	۴۳۰	۱/۰۲	۰/۲۸	۳۰۹۴
۰/۳۹	۳۶۱	۱۶۲	۴۳۳	۰/۶۳	۰/۲۴	۳۱۰۳
۰/۷۱	۲۰۷	۱۳۴	۴۳۲	۰/۹۴	۰/۲۶	۳۱۱۲
۰/۸۹	۲۱۶	۱۴۰	۴۳۳	۱/۲۴	۰/۳۸	۳۱۲۹
۰/۹۷	۱۴۲	۱۹۳	۴۳۲	۱/۸۷	۰/۲۴	۳۱۳۵
۱/۸۸	۸۸	۳۶۳	۴۲۵	۶/۸۰	۰/۹۲	۳۱۳۸
۲/۵۰	۷۴	۴۶۲	۴۱۹	۱۱/۰۴	۱/۱۵	۳۱۴۱
۳/۰۸	۶۵	۴۵۰	۴۱۸	۱۳/۸۸	۱/۳۷	۳۱۴۴
۳/۵۸	۷۳	۴۶۸	۴۱۷	۱۶/۷۵	۱/۷۳	۳۱۵۰
۳/۰۷	۵۷	۵۱۲	۴۱۶	۱۰/۹۹	۱/۷۶	۳۱۵۳
۲/۲۲	۷۲	۴۳۱	۴۱۹	۹/۰۶	۱/۲۵	۳۱۵۶
۲/۲۱	۶۶	۴۹۶	۴۱۶	۱۰/۹۶	۱/۱۴	۳۱۵۹
۲/۴۶	۶۱	۳۹۸	۴۱۷	۹/۷۹	۱/۱۲	۳۱۶۲
۰/۸۸	۱۸۸	۱۹۶	۴۳۵	۱/۷۲	۰/۶۲	۳۱۶۵
۲/۶۷	۶۰	۴۰۸	۴۲۵	۱۰/۹	۱/۹۷	۳۱۷۱
۱/۱۶	۱۱۳	۲۰۵	۴۲۱	۶/۰۳	۱/۶۱	۳۱۷۴
۱/۳۴	۱۲۷	۲۴۸	۴۳۳	۳/۳۴	۰/۸۸	۳۱۷۷
۲/۰۹	۱۱۱	۲۴۰	۴۲۱	۴/۰۴	۱/۰۱	۳۱۸۰
۲/۷۴	۷۱	۴۱۶	۴۲۲	۱۱/۳۸	۲/۲۸	۳۱۸۶
۱/۰۵	۹۸	۲۶۹	۴۱۸	۶/۰۳	۱/۰۲	۳۱۹۳
۱/۱۲	۱۳۶	۲۲۰	۴۱۹	۴/۰۲	۱/۱۰	۳۱۹۶
۱/۰۸	۱۴۰	۲۴۰	۴۲۱	۴/۰۱	۰/۶۰	۳۲۰۲
۱/۰۷	۱۳۸	۱۹۷	۴۳۱	۲/۱	۰/۵۹	۳۲۰۵
۰/۸۹	۱۶۴	۱۷۵	۴۳۲	۱/۰۶	۰/۷۰	۳۲۱۴
۰/۴۶	۲۶۲	۱۸۱	۴۲۵	۰/۸۳	۰/۶۴	۳۲۱۷
۰/۳۹	۲۶۷	۲۲۴	۴۲۸	۰/۸۷	۰/۴۷	۳۲۲۰
۰/۷۰	۱۸۱	۱۴۹	۴۳۵	۱/۰۴	۰/۴۱	۳۲۲۳

جدول ۳- اطلاعات دستگاه پیرولیز راک ایول ۶ در سازند پابده میدان نفتی زیلائی چاه شماره ۵

TOC %	OI mg CO <sub>2</sub> /g TOC	HI mg HC /g TOC	T <sub>max</sub> °C	S <sub>2</sub> mg HC /g Rock	S <sub>1</sub> mg HC /g Rock	عمق (m)
۰/۴۹	۳۱۲	۲۹۷	۴۳۷	۱/۴۵	۰/۴۸	۳۷۹۴
۰/۴۳	۲۳۴	۲۸۴	۴۳۳	۱/۲۱	۰/۲۱	۳۸۰۰
۰/۴۱	۱۵۴	۲۶۳	۴۳۰	۱/۰۷	۰/۳۱	۳۸۰۸
۰/۴۰	۱۵۵	۲۶۱	۴۳۴	۱/۱۶	۰/۲۳	۳۸۱۶
۰/۵۷	۴۳۸	۷۱	۴۳۳	۰/۴۱	۰/۱۹	۳۸۲۴
۰/۰۵	۳۵۸	۱۳۳	۴۳۲	۰/۷۳	۰/۱۸	۳۸۳۲
۱/۰۳	۲۳۶	۱۴۳	۴۳۳	۱/۰۰	۰/۳۲	۳۸۴۰
۱/۰۲	۲۷۰	۱۵۰	۴۳۲	۱/۰۲	۰/۴۳	۳۸۴۸
۱/۰۶	۱۷۱	۱۸۳	۴۳۵	۲/۸۵	۰/۴۷	۳۸۵۶
۰/۶۸	۳۶۹	۱۳۹	۴۲۵	۰/۹۵	۰/۳۰	۳۸۶۴
۰/۳۹	۱۸۰	۳۴۴	۴۳۷	۱/۳۶	۰/۳۱	۳۸۷۲
۰/۲۲	۷۶۲	۷۱۲	۴۳۷	۱/۵۸	۰/۲۳	۳۸۸۰
۰/۶۰	۲۷۰	۱۴۲	۴۳۴	۰/۸۶	۰/۲۳	۳۸۸۸
۱/۰۰	۱۹۹	۲۷۹	۴۳۲	۲/۱۹	۰/۸۹	۳۸۹۶
۰/۸۷	۱۳۵	۳۴۶	۴۳۳	۲/۰۰	۰/۶۲	۳۹۰۴
۱/۰۰	۱۸۷	۲۶۷	۴۳۲	۲/۶۷	۰/۶۳	۳۹۱۲
۲/۸۰	۶۵	۴۰۱	۴۳۱	۱۱/۲۴	۱/۴۹	۳۹۱۶
۲/۱۰	۵۱	۵۴۶	۴۳۲	۱۱/۴۵	۱/۲۴	۳۹۲۰
۱/۰۰	۸۸	۳۹۸	۴۳۱	۶/۱۷	۰/۷۷	۳۹۲۸
۱/۳۳	۹۹	۱۰۳۶	۴۳۲	۱۳/۷۷	۱/۰۶	۳۹۳۲
۲/۹۰	۵۳	۴۲۰	۴۳۵	۱۰/۹۶	۱/۱۹	۳۹۴۰
۲/۰۴	۴۷	۳۳۹	۴۳۴	۸/۶۳	۱/۱۳	۳۹۴۸
۲/۰۹	۵۱	۴۰۱	۴۳۵	۶/۰۳	۱/۰۰	۳۹۵۶
۲/۱۴	۰۰	۴۰۳	۴۳۵	۸/۶۴	۱/۳۰	۳۹۶۴
۲/۸۴	۶۴	۳۱۴	۴۳۴	۱۱/۱۶	۱/۴۶	۳۹۷۲
۲/۲۷	۵۷	۴۲۳	۴۳۴	۹/۶۲	۱/۴۶	۳۹۸۰
۱/۰۱	۱۱۰	۳۶۸	۴۳۳	۰/۰۶	۱/۱۰	۳۹۸۸
۰/۷۶	۲۲۵	۱۵۲	۴۳۵	۱/۱۶	۰/۴۱	۳۹۹۶
۰/۴۶	۳۹۶	۱۷۶	۴۳۸	۰/۸۲	۰/۲۳	۴۰۰۴
۰/۶۳	۳۵۳	۱۹۱	۴۳۸	۱/۲۰	۰/۴۱	۴۰۱۲
۰/۰۴	۴۲۷	۱۰۵	۴۲۵	۰/۸۳	۰/۳۴	۴۰۲۰
۰/۰۱	۴۱۶	۱۷۸	۴۲۹	۰/۹۱	۰/۴۳	۴۰۲۸
۰/۶۱	۴۰۴	۱۰۹	۴۳۱	۰/۹۶	۰/۱۴	۴۰۳۶
۰/۰۰	۴۰۴	۱۵۰	۴۳۴	۰/۷۵	۰/۳۱	۴۰۴۶
۰/۳۵	۴۴۹	۱۴۳	۴۳۳	۰/۰۰	۰/۲۲	۴۰۵۲



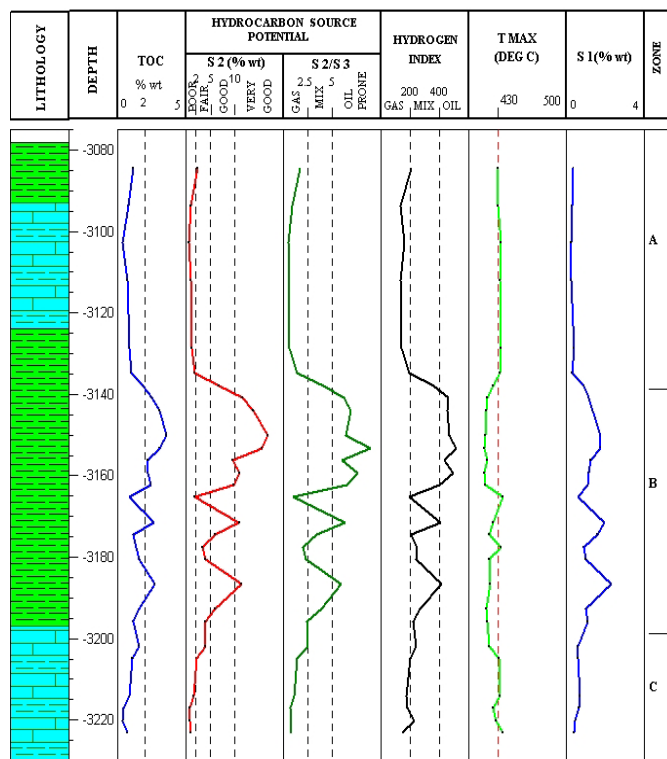
شکل ۴- نمودار  $S_1$  در مقابل TOC که نشان از عدم آلدگی نمونه‌های مورد مطالعه و بر جا بودن هیدروکربن‌های تولیدی دارد، اقتباس از هانت [۲]



شکل ۵- لاغ ژئوشیمیائی سازند پابده در میدان نفتی اهواز چاه شماره ۵۵، اقتباس از هانت [۲]

عنوان سنگ منشاء ضعیف با قابلیت تولید هیدروکربن گازی هم از طریق شاخص هیدروژن (HI) و هم نسبت S<sub>2</sub>/S<sub>3</sub> تفسیر می‌شود. زون B با کل کربن آلی حداقل ۰/۴٪ در شیل‌های قهقهه‌ای، همچنین HI و S<sub>2</sub>/S<sub>3</sub> بالا در محدوده نفت‌زاری قرار می‌گیرد. زون C با مشخصات زون A تطابق داشته، با این تفاوت که عمدتاً از شیل‌های آهکی تشکیل شده است. خصوصیات عنوان شده در هر دو چاه نامبرده در میدان نفتی اهواز صادق است [۸].

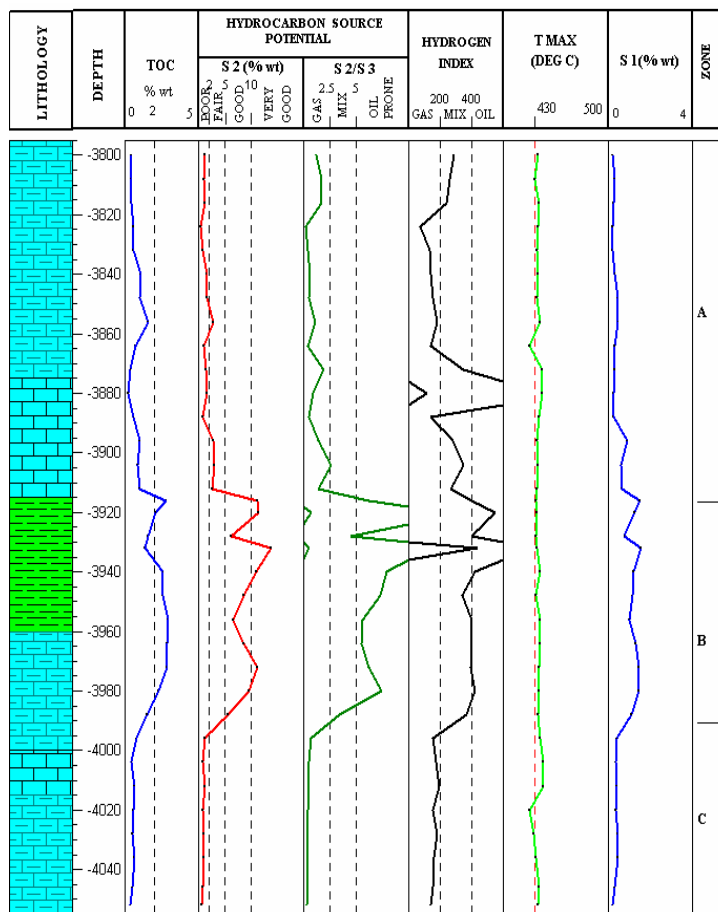
در بخش‌های بالائی سازند پابده میدان نفتی اهواز که مقدار ماده آلی اندک است، T<sub>max</sub> در حدود پنجره نفتی قرار دارد و با افزایش مقدار ماده آلی، مقدار T<sub>max</sub> اندکی کاهش می‌یابد و این به دلیل وجود شیل‌های قهقهه‌ای در این محدوده است. همان‌گونه که در لاغ ژئوشیمیایی تهیه شده در این مطالعه (شکل ۵ و ۶) مشاهده می‌شود به طور کل می‌توان سازند پابده را در این میدان به سه زون A، B و C تقسیم‌بندی نمود. زون A با لیتولوژی شیلی-آهکی و کل کربن آلی در حد متوسط تفکیک می‌شود. این زون به



شکل ۶- لاغ ژئوشیمیائی سازند پابده در میدان نفتی اهواز چاه شماره ۶۱، اقتباس از هانت [۲]

گازی هم از طریق شاخص هیدروژن (HI) و هم نسبت S<sub>2</sub>/S<sub>3</sub> تفسیر می‌شود. زون B با کل کربن آلی حداقل ۰/۲٪، همچنین HI و S<sub>2</sub>/S<sub>3</sub> بالا در ابتدا مرحله نفت‌زاری، و به دلیل T<sub>max</sub> نسبتاً بالا در محدوده پنجره نفتی قرار می‌گیرد. زون C با مشخصات زون A مطابقت دارد.

همان‌گونه که در لاغ ژئوشیمیائی تهیه شده در میدان نفتی زیلائی (شکل ۷) مشاهده می‌شود به طور کل می‌توان سازند پابده در این میدان را نیز به سه زون A، B و C تقسیم‌بندی نمود. زون A با لیتولوژی شیلی-آهکی و کل کربن آلی در حد متوسط تفکیک می‌شود. این زون به عنوان سنگ منشاء ضعیف با قابلیت تولید هیدروکربن



شکل ۷- لاغ ژئوشیمیائی سازند پابده در میدان نفتی زیلانی چاه شماره ۵، اقتباس از هانت [۲]

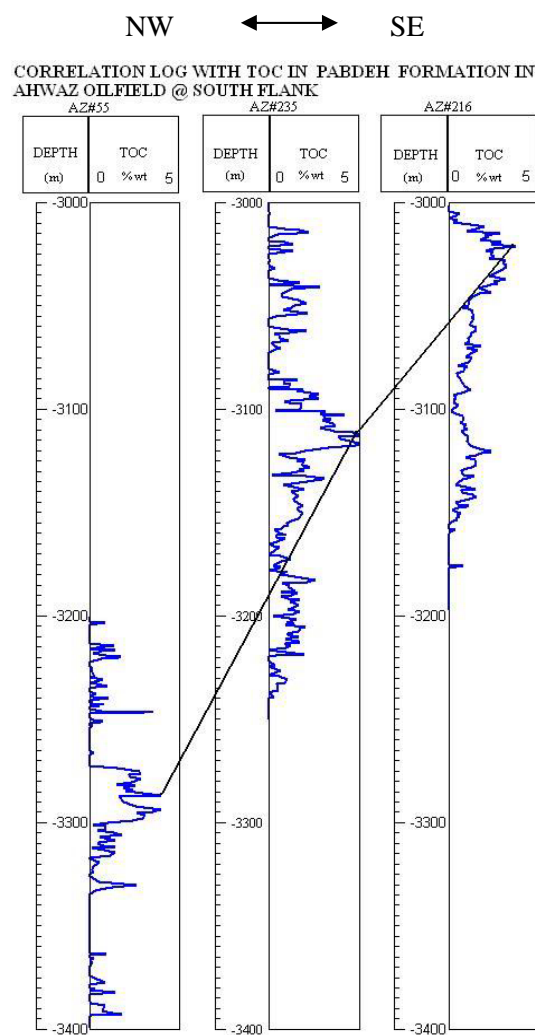
### نتیجه گیری

مطالعه پتانسیل زایشی به روی سنگ منشاء پابده در میدان نفتی زیلانی و اهواز، با استفاده از راک - ایول ۶ نشان می‌دهد که سازند پابده در میدان نفتی اهواز با وجود کل ماده آلی قابل ملاحظه در برخی از بخش‌های سازند، به دلیل پائین بودن بلوغ حرارتی سهم چشمگیری در نفت‌زایی این میدان نداشته و در محدوده قبل از پنجره نفتی قرار می‌گیرد ولی در میدان نفتی زیلانی در بخش B سازند، به دلیل بالا بودن بلوغ حرارتی و نوع هیدروکربن تولیدی، کروزن در ابتدای محدوده پنجره نفتی قرار می‌گیرد که به دلیل عمق تدفین بالاتر در میدان زیلانی این موضوع تأیید می‌گردد.

جهت انجام تطابق چینه‌شناسی با استفاده از داده‌های کل کربن آلی و عمق نمونه مورد بررسی، در امتداد یال جنوبی تاقدیس میدان نفتی اهواز سه چاه به نام‌های AZ#216، AZ#235 و AZ#55 انتخاب تا با استفاده از تطابق چینه‌شناسی در شیل‌های قهقهه‌ای مورد نظر، وضعیت چینه‌شناسی سنگ منشاء مشخص گردد. در شکل ۸ مشاهده می‌شود که از جنوب‌شرق به شمال‌غرب میدان عمق تدفین افزوده شده و نشان از افزایش رسوب‌گذاری از جنوب‌شرق به طرف شمال‌غرب میدان دارد. همچنین می‌توان نتیجه گرفت که غرب میدان سریع‌تر و قبل از بخش شرقی به مرحله نفت‌زایی خواهد رسید.

خوبی نشان داده شده است. در همین لاغ فاکتورهای ژئوشیمیایی و همچنین لیتولوژی سنگ‌ها سه زون را به صورت مشخص و مجزا معرفی می‌نماید. در هر سه زون A، B و C هیچ نوع هیدروکربن‌زائی در میدان نفتی اهواز مشاهده نمی‌شود. در شیل‌های قهوه‌ای علی‌رغم بالا بودن نسبت  $S_2/S_3$  و جایگیری در محدوده نفت‌زائی و قرارگیری  $S_2$  در محدوده خیلی خوب از نظر توان تولید هیدروکربن، به دلیل پائین بودن بلوغ حرارتی تمامی مواد آلی، فرآیند هیدروکربن‌زائی به سرانجام نرسیده است. در سازند پابده میدان نفتی زیلانی هم شاهد هر سه زون A، B و C بوده در حالی که زون B با کل کربن آلی حداقل ۲٪ و بالا بودن نسبت  $S_2/S_3$  و جایگیری  $S_2$  در محدوده خیلی خوب و  $T_{max}$  از  $430^{\circ}\text{C}$  در ابتدای اطمینان از نتایج حاصله، هیدروکربن‌های  $S_1$  با کل کربن آلی مقایسه و ضمن تأیید داده‌های حاصله، بر جا بودن مواد آلی تأیید شد. بنابراین سازند پابده در میدان نفتی زیلانی و اهواز عاری از هر گونه آلودگی و مهاجرت نفت از شیل‌های قدیمی‌تر است. نهایتاً لاغ تطابق چینه‌شناسی و حداقل مقدار کل کربن آلی در شیل‌های قهوه‌ای سازند پابده میدان نفتی اهواز نشان دهنده افزایش عمق حوضه رسوبی در زمان تنشینی این زون از جنوب شرق به طرف شمال‌غرب میدان بوده و بدون شک نفت‌زائی آتی این سنگ از سمت شمال‌غرب سریع‌تر انجام خواهد پذیرفت.

مقایسه سازند پابده در این دو میدان نشان می‌دهد که عامل مهم نفت‌زائی در میدان زیلانی، افزایش عمق تدفین بوده و لذا با مطالعه میدان‌های مختلف در فروافتادگی دزفول، تصویر مناسبی از روند تغییرات مشخصات ماده آلی به دست خواهد آمد. این تصویر می‌تواند مسیرهای مهاجرت نفت را تعیین و به کشف نفت‌گیرهای چینه‌ای کمک شایانی بنماید.



شکل ۸- تطابق حداقل کل کربن آلی در شیل‌های قهوه‌ای در سه چاه مورد مطالعه که افزایش عمق تدفین را از شرق به غرب میدان نفتی اهواز نشان می‌دهد

نوع کروزن برای سازند پابده با توجه به نمودار شاخص هیدروزن (HI) در برابر شاخص اکسیزن (OI)، مخلوط نوع II و III را نشان می‌دهد. نمودار  $T_{max}$  در برابر شاخص هیدروزن (HI) نیز این موضوع را در هر دو میدان تأیید می‌کند. لاغ ارزیابی ژئوشیمیایی افزایش شاخص هیدروزن با افزایش کل کربن آلی را نشان می‌دهد که این خود حفظ شدن ماده آلی در شرایط احیایی را تأیید می‌نماید. این موضوع به خصوص در شیل‌های قهوه‌ای به

- [5] www.eia.doe.gov/emeu/cabs/iran.html
- [6] Falcon, N.L., "major earth- flexuring in the Zagros Mountain of south weast Iran".Q.J. Geology Society, 117, Part. 4, 468 (1961) 367-376.
- [7] مطیعی، ه، زمین‌شناسی ایران، چینه‌شناسی زاگرس، سازمان زمین‌شناسی کشور، ۱۳۷۲
- [8] علیزاده، ب؛ مرادی، م و قلاوند، ه، مطالعه رئوشیمیائی سازند پابده در میدان نفتی اهواز، نهمین همایش انجمن زمین‌شناسی ایران، دانشگاه تربیت معلم تهران، ۱۳۸۴
- [9] Ibrahimbas, A. and Riediger, C., "Hydrocarbon source rock potential as determined by rock-eval 6/TOC pyrolysis, northeast british columbia and northwest alberta", Resource Development and Geoscience Branch, Summary of Activities, (2004) 7-17.
- [10] Gary, H. Isaksen., K. Haakan, I. and Ledje, "Source rock quality and hydrocarbon migration pathways within the greater Utsira High area, Viking graben, Norwegian North Sea", AAPG Bull., 85, 5 (2001) 861–883.
- [11] Bordenave, M.L., "Applied Petroleum Geochemistry", Editions Technip, Paris, (1993) 524.

## تشکر و قدردانی

نویسنده‌گان مقاله برخود لازم می‌دانند از دانشگاه شهید چمران اهواز به خصوص گروه زمین‌شناسی برای فراهم نمودن امکان این تحقیق و استفاده از آزمایشگاه نفت، مناطق نفت‌خیز جنوب به خصوص اداره پژوهش و توسعه و همچنین اداره زمین‌شناسی تشکر و قدردانی نمایند.

## مراجع

- [1] Kagi, R. and Alexander R., Oil source correlation using molecular sequence stratigraphy, Research project Report 218 (1998) centre for petroleum and environment organic geochemistry, curtin university of technology Australia.
- [2] Hunt, J.M., Petroleum Geochemistry and Geology, 2<sup>th</sup> Edition,W.H.Freeman and company, (1996) 764.
- [3] Behar, F., Beamont, V. and Penteado, H.L., Rock – Eval 6 Technology Performance and developments. Oil & Gas Science and Technology- Rev. IFP, 56, 2 (2001) 111-134.
- [۴] مکوندی، ع؛ مطالعه زمین‌شناسی مخزن آسماری میدان زیلانی، گزارش پ - ۴۷۱۳ اداره مطالعات شرکت ملي مناطق نفت‌خیز جنوب، ۱۳۷۶.